

Gröbner-Fächer für lineare Codes

Daniel Rembold

Technische Universität Hamburg Harburg

daniel.rembold@tuhh.de

August 28, 2014

- ① Einleitung
- ② Mathematische Grundlagen
- ③ Aufzählen von Gröbner-Fächern
- ④ Ergebnisse
- ⑤ Mögliche Verbesserungen & Fazit
- ⑥ Vorführung

- Viele Anwendungen der Gröberbasen basieren auf Gröbner-Fächer
- Nützlich für Idealzugehörigkeitsproblem und polynomiale Gleichungssysteme
- Kompletter Gröbner-Fächer nicht immer nötig

Monom

- Produkt von Variablen über ein endliches Feld $\mathbb{K}[X_1, X_2, \dots, X_n]$
- Schreibweise $m = X_1^{u_1} X_2^{u_2} \cdots X_n^{u_n}$ und $u_i \in \mathbb{N}_0$

Grad eines Monoms: $\deg(m) = \sum_{i=1}^n u_i$.

Termordnung (1)

Termordnung $>$

- Relation $>$ zu der Menge von allen Monomen in $\mathbb{K}[X_1, X_2, \dots, X_n]$

Termordnung (2)

- Lexikographische Ordnung $>_{lex}$
- grad $>_{grlex}$
- Ordnung mit Gewichtsvektor $c = (c_1, \dots, c_n) \in \mathbb{R}_+^n$

Leitterm $LT(f)$

- Polynom $p \in \mathbb{K}[X_1, X_2, \dots, X_n]$ besitzt Term höchster Ordnung in Bezug auf $>$

Beispiel

Sei $f = x^2 + 3xyz + y^3$

- lex-Order : $f = \underline{x^2} + 3xyz + y^3$
- grlex-Order : $f = \underline{3xyz} + y^3 + x^2$
- $(1, 2, 1)$: $f = \underline{y^3} + 3xyz + x^2$

Ideal

- Kollektion von Polynomen f_1, \dots, f_s :

$$\langle f_1, \dots, f_s \rangle = \left\{ \sum_{i=1}^s h_i f_i \mid h_1, \dots, h_s \in \mathbb{K}[X_1, \dots, X_n] \right\}.$$

Beispiel

Sei $I = \langle f_1, f_2 \rangle = \langle x^2 + y, x + y + 1 \rangle$ und $f = x^2y + x^2 + y^2 + xy + x$
Dann gilt $f = y \cdot f_1 + x \cdot f_2$, $f \in I$.

Divisionsalgorithmus (1)

- Notwendig zum Lösen des Idealzugehörigkeitsproblems

Ziel des Algorithmus

Polynom g durch Ideal $I = \langle f_1, \dots, f_s \rangle$ teilen, so dass
 $g = a_1 f_1 + \dots + a_s f_s + r, \quad a_i, g, I, r \in \mathbb{K}[X_1, \dots, X_n]$

Sei Polynom p und Ideal I

- Wenn $p \% I = 0$, dann gilt $p \in I$

Algorithm 1 Divisionsalgorithmus (Header)

Require: Basis $I = \langle f_1, \dots, f_m \rangle$ of nonzero polynomials **and** a fixed termorder LT

Ensure: $r = 0$ **or** none of the terms in r are divisible by $LT_{\leq}(f_1), \dots, LT_{\leq}(f_m)$

- Reihenfolge der Polynome in I beeinflusst Ergebnis
- $r \neq 0$ möglich, obwohl $p \in I$

Gröbnerbasis (1)

Gröbnerbasis

Sei Termordnung $>$ und Ideal I , dann hat Gröbnerbasis $G = \{f_1, \dots, f_m\}$ (in Bezug auf $>$) von I die Eigenschaft:

- Von jedem Polynom $p \in I$ ist $LT_{>}(p)$ teilbar durch $LT_{>}(f_i)$
- Divisionsrest eindeutig bestimmt und unabhängig von Reihenfolge
- Gröbnerbasis aus jedem Ideal mit Hilfe des Buchberger-Algorithmus und einer festen Termordnung

- Gröbnerbasen sind nicht eindeutig
- Reduzierte Gröbnerbasen jedoch eindeutig für Ideale

Reduzierte Gröbnerbasis

Alle Leiterterme von Gröbnerbasis G in Bezug auf Termordnung $>$ monisch und relativ prim zueinander

- Unendlich viele Termordnungen, endlich viele reduzierte Gröbnerbasen

Gröbner-Fächer

- Vielflächiges Komplex welches Kegel im \mathbb{R}_+^n enthält
- Flächen werden durch Ebenenungleichungen der Polynome bestimmt

Beispiel Gröbner-Fächer (1)

Sei

① $I = \langle x^2 - z, y - x \rangle \in \mathbb{K}[x, y, z]$

② $G_{>_{lex}} = \{\underline{y}^2 - z, \underline{x} - y\}$

③ $\mathbf{w} = (a, b, c) \in \mathbb{R}_+^3$

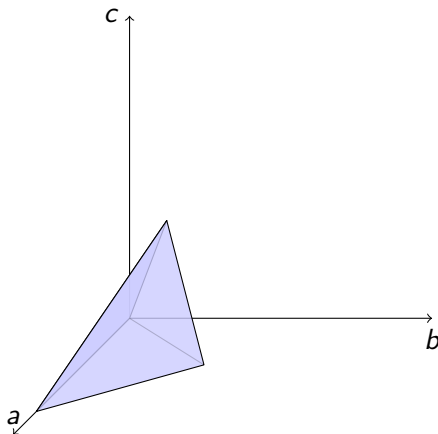
• $w \in G_{>_{lex}}$ genau dann, wenn

① $(0, 2, 0) \cdot (a, b, c) \geq (0, 0, 1) \cdot (a, b, c) \vee 2b \geq c$

② $(1, 0, 0) \cdot (a, b, c) \geq (0, 1, 0) \cdot (a, b, c) \vee a \geq b$

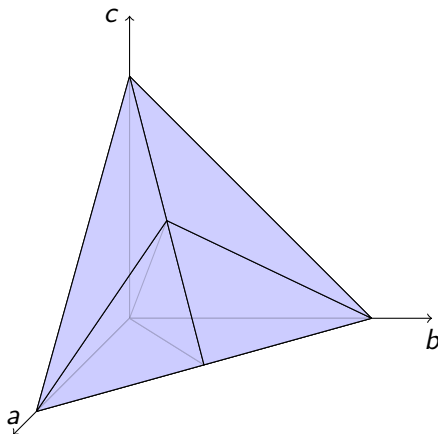
Beispiel Gröbner-Fächer (2)

Figure: Gröbner-Kegel für $G_{>_{lex}}$



Beispiel Gröbner-Fächer (3)

Figure: Kompletter Gröbner-Fächer



- Obermenge von Code-Idealen
- Besteht nur aus Binomen

Torisches Ideal

Gegeben seien $A = [a_1, \dots, a_n] \in \mathbb{Z}^{d \times n}$ und $u \in \mathbb{Z}^n$ zerlegbar in u^+ und u^- , dann ist das torische Ideal I_A definiert durch

$$I_A = \langle \mathbf{x}^{u^+} - \mathbf{x}^{u^-} \mid u \in \ker(A) \rangle.$$

- Gröbner-Fächer als Graph
 - Gröbnerbasen als Knoten
 - Gröbnerbasen adjazent wenn im Gröbner-Fächer benachbart

Facet Binomials

Bestimmen Grenzen zu anderen Gröbnerbasen

Sei $x^{\alpha_k} - x^{\beta_k} \in \mathcal{G}_c$, \mathcal{G}_c Gröbnerbasis mit Gewichtsvektor c

$x^{\alpha_k} - x^{\beta_k}$ ist Facet binomial wenn ein Vektor $u \in \mathbb{R}$ folgendes erfüllt :

- $\{\alpha_i \cdot u > \beta_i \cdot u : i = 1, \dots, t, i \neq k\}$
- $\{\beta_k \cdot u > \alpha_k \cdot u\}.$

Beispiel Facet Binomials

- Sei $\mathcal{G} = \{x_1 - x_5, x_2^2 - 1, x_2x_4 - x_5x_6, x_2x_6 - x_4x_5, x_3 - x_5, x_4^2 - 1, x_4x_5x_6 - x_2, x_5^2 - 1, x_6^2 - 1\}$
- Prüfe ob $x_2x_4 - x_5x_6$ ein facet binomial ist mit linearer Programmierung

$$\begin{array}{rcl} Ax & = & b \\ \text{subject to} & x & \geq 0 \end{array}$$

① $b = (0, 1, 0, 1, -1, -1)^T$

②

$$A = \begin{pmatrix} 1 & 0 & 0 & 0 & 0 & 0 & 0 & 0 \\ 0 & 2 & 1 & 0 & 0 & -1 & 0 & 0 \\ 0 & 0 & 0 & 1 & 0 & 0 & 0 & 0 \\ 0 & 0 & -1 & 0 & 2 & 1 & 0 & 0 \\ -1 & 0 & -1 & 1 & 0 & 1 & 2 & 0 \\ 0 & 0 & 1 & 0 & 0 & 1 & 0 & 2 \end{pmatrix}$$

- Gröberbasis erhalten durch andere Gröbnerbasis
- Facet Binomial "umdrehen" (flip)

Algorithm 2 Local change of reduced Gröbner bases in I_A

Input: Reduced Gröbner basis \mathcal{G} of I_A **and**

A prescribed facet binomial $\underline{x}_i^a - x_i^b \in \mathcal{G}$

Output: The reduced Gröbner basis adjacent to \mathcal{G} in which $\underline{x}_i^b - x_i^a$ is a facet binomial.

- Keine expliziten Termordnung nötig

Algorithm 3 Enumerating the edge graph of the Gröbner fan via breath-first search

Input: Any reduced Gröbner basis \mathcal{G}_0 of I_A

Output: All reduced Gröbner bases of I_A , (all vertices of the edge graph)

- Einfacher und intuitiver Algorithmus
- Alle Gröbnerbasen müssen für den Vergleich gespeichert werden

- Gröbner-Fächer mit umgekehrter Tiefensuche nummerieren
- Ergebnis ist ein gerichteter Subgraph \rightarrow Umgekehrter Suchbaum
- Nachteil von Breitensuche kompensiert

Umgekehrter Suchbaum $T_{>}(I_A)$

- Azyklischer Graph mit einer eindeutigen Senke (bzgl. einer festen Termordnung)
- Einzigartige Pfade von Gröbnerbasis zur Senke

Algorithm 4 Enumerating the edge graph of the Gröbner fan via reverse search

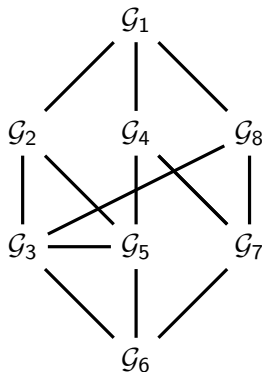
Input: Any reduced Gröbner basis $\mathcal{R}_{>}$ of I_A and its term order $>$

Output: All reduced Gröbner bases of I_A (all vertices of the edge graph)

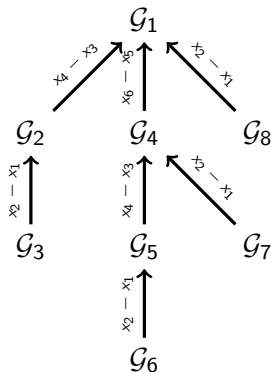
- Termordnung notwendig für Tiefensuche
- Binome die Termordnung einhalten werden "umgedreht"

Vergleich: Breitensuche & umgekehrte Tiefensuche

Sei $\mathcal{G} = \{x_1 - x_2, x_3 - x_4, x_5 - x_6, x_2^2 - 1, x_4^2 - 1, x_6^2 - 1\}$ mit lexikographischer Ordnung $> : x_1 > \dots > x_6$



(a) Ergebnis der Breitensuche



(b) Umgekehrter Suchbaum

Gradkompatible Gröbnerbasis

Eine reduzierte Gröbnerbasis (bzgl. zur Termordnung $>$) für ein Ideal ist gradkompatibel wenn der Vektor **1** im Gröbner-Kegel liegt.

- Leitterm muss höchsten Grad haben
- Jedes Ideal hat mindestens eine gradkompatible Gröbnerbasis

Einige gradkompatible Gröbnerbasis

Eine reduzierte Gröbnerbasis (bzgl. einer Termordnung $>$) ist die einzige gradkompatible Gröbnerbasis wenn

$$\deg(x^a) > \deg(x^b) \quad \forall x^a - x^b \in \mathcal{G}$$

- Breitensuche und umgekehrte Tiefensuche adaptierbar auf gradkompatible Gröbnerbasen

Linearer Code

Ein linearer Code der Länge n und Dimension k über \mathbb{F} ist das Bild \mathcal{C} einer linearen Abbildung $\phi : \mathbb{F}^k \rightarrow \mathbb{F}^n$.

- Als $[n, k]$ Code bezeichnet
- Alternativ als Generatormatrix $G \in \mathbb{F}^{k \times n}$ beschrieben
- Standardform : $G = (I_k | M)$
- Codewort c vom Wort x erhält man durch

$$xG = c$$

- Sei $x = (1, 0, 1, 0)$ und $G = \begin{pmatrix} 1 & 0 & 0 & 0 & 1 & 1 & 0 \\ 0 & 1 & 0 & 0 & 1 & 0 & 1 \\ 0 & 0 & 1 & 0 & 1 & 1 & 1 \\ 0 & 0 & 0 & 1 & 0 & 1 & 1 \end{pmatrix}$

$$(1, 0, 1, 0) \cdot \begin{pmatrix} 1 & 0 & 0 & 0 & 1 & 1 & 0 \\ 0 & 1 & 0 & 0 & 1 & 0 & 1 \\ 0 & 0 & 1 & 0 & 1 & 1 & 1 \\ 0 & 0 & 0 & 1 & 0 & 1 & 1 \end{pmatrix} = (1, 0, 1, 0, 0, 0, 1)$$

Code Ideal

Sei \mathcal{C} ein $[n, k]$ Code. Das Code Ideal $I(\mathcal{C})$ die Vereinigung zwischen

$$I_{\mathcal{C}} = \langle \mathbf{x}^c - \mathbf{x}^{c'} \mid c - c' \in \mathcal{C} \rangle + I_p,$$

so dass $I_p = \langle x_i^p - 1 \mid 1 \leq i \leq n \rangle$.

- Sei \mathcal{C}_1 ein binärer $[6, 3]$ code mit der Generatormatrix

$$G_1 = \begin{pmatrix} 1 & 0 & 0 & 0 & 1 & 0 \\ 0 & 1 & 0 & 1 & 1 & 1 \\ 0 & 0 & 1 & 0 & 1 & 0 \end{pmatrix}$$

- Code Ideal $I(\mathcal{C})$ ergibt sich zu:

$$I(\mathcal{C}) = \{x_1 - x_5, x_2 - x_4x_5x_6, x_3 - x_5\} \cup \\ \{x_1^2 - 1, x_2^2 - 1, x_3^2 - 1, x_4^2 - 1, x_5^2 - 1, x_6^2 - 1\}$$

- Reduzierte Gröbnerbasis mit lexikographischer Ordnung $>$:

$$\mathcal{G}_{>} = \{x_1 - x_5, x_2 - x_4x_5x_6, x_3 - x_5\} \cup \{x_4^2 - 1, x_5^2 - 1, x_6^2 - 1\}$$

Vergleich zw. gradkompatible & kompletter Gröbner-Fächer

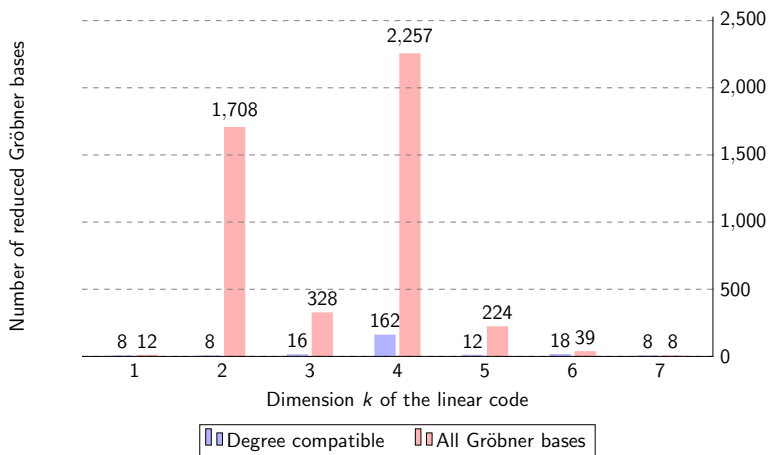


Table: Berechnungszeit in Sekunden

$[n, k]$ Code	CIDGEL d.c.	CIDGEL	Gfan
[8, 2]	0.206	10.198	38.127
[8, 4]	7.743	25.86	47.748
[9, 4]	9.27	727.91	982.56
[9, 5]	4.72	18.89	59.65
[10, 6]	87.92	277.81	380.04

Vorführung der Software

- ① Verwenden von externen LP-Solver
- ② Parallelität

- ① Keine (bekannte) Software berechnet gradkompatiblen Gröbnerfächer
- ② Schnellere Berechnung als andere Software

Vielen Dank für eure Aufmerksamkeit!